



Available online: <http://ijhe.tums.ac.ir>

مقاله پژوهشی



بهینه‌سازی تولید کربن فعال در دماهای مختلف با استفاده از فعال‌ساز K₂CO₃ برای حذف رنگ‌زای راکتیو بلک ۵ از محلول آبی

مهران بیجاری، حبیب الله یونسی*، نادر بهرامی فر
گروه محیط زیست، دانشکده منابع طبیعی و علوم دریایی، دانشگاه تربیت مدرس، نور، ایران

اطلاعات مقاله:

زمینه و هدف:	تاریخ دریافت:	۹۶/۰۷/۲۵
رنگ‌ها دارای ساختار مقاوم‌تر از سایر رنگ‌ها در برابر تجزیه بوده و می‌توانند صدمات جبران‌ناپذیری به محیط‌زیست وارد کنند. هدف از این مطالعه حذف رنگ‌زای راکتیو بلک ۵ با استفاده از کربن فعال تهیه شده از پسماند حاصل از هرس درختچه انگور در سیستم نایپوسته است.	تاریخ ویرایش:	۹۶/۱۰/۱۳
روش بررسی:	تاریخ پذیرش:	۹۶/۱۰/۲۰
در این مطالعه کربن فعال با استفاده از چوب انگور به عنوان پیش‌ماده و فعال‌ساز کربنات پتابسیم در نسبت اشباع ۱:۰/۲۵ در دماهای مختلف ۴۰۰، ۴۵۰، ۵۰۰، ۵۵۰، ۶۰۰، ۶۵۰، ۷۰۰، ۷۵۰، ۸۰۰، ۸۵۰، ۹۰۰ °C سنتز شد. سپس آزمایش جذب رنگ برای همه نمونه‌ها در شرایط یکسان: pH ۲، دوز جاذب ۰/۰۲۵ g/L، غلظت اولیه رنگ ۲۵۰ mg/L، دما ۲۵ °C، حجم محلول ۱۰۰ mL و زمان تماس ۱۲۰ min انجام شد تا کربن فعال بهینه از بین نمونه‌های سنتز شده انتخاب شود، سپس مطالعات جذب نایپوسته رنگ‌زای راکتیو بلک ۵ بر روی کربن فعال بهینه انجام گرفت و روند پارامترهای pH، دوز جاذب، غلظت اولیه رنگ، دما و زمان تماس در طول فرایند جذب بررسی شد. همچنین آنالیزهای BET و SEM برای تعیین مشخصات کربن فعال بهینه انجام شد. در پایان مطالعات تعادلی، سینتیک و ترمودینامیک برای رنگ‌زای راکتیو بلک ۵ انجام گرفت.	تاریخ انتشار:	۹۶/۱۲/۱۶
یافته‌ها:	وازگان کلیدی:	رنگ‌زای راکتیو بلک ۵، کربن فعال، کربنات پتابسیم، چوب انگور
نتایج نشان داد که نمونه کربن فعال با سطح ویژه ۱۶۷۰ m ² /g و حجم کلی حفرات/g ۱/۴۳۴ و توزیع ۶۸ درصد حفرات در محدوده مزوحفره، دارای حداکثر ظرفیت جذب رنگ‌زای راکتیو بلک ۵ به مقدار ۷۰۴ mg/g در شرایط معین است. این حداکثر ظرفیت جذب در شرایط معین: pH برابر با ۲، دوز جاذب ۰/۰۳۵ g/L، غلظت اولیه رنگ ۲۵۰ mg/L، دما ۴۵ °C، حجم محلول ۱۰۰ mL و زمان تماس ۱۲۰ min به دست آمد. نتایج داده‌های تعادلی جذب رنگ‌زای راکتیو بلک ۵ تطابق بیشتری با مدل فروندلیج دارد. همچنین مطالعات سینتیکی نشان داد که رفتار جذب رنگ بر روی کربن فعال از مدل شبه درجه دوم پیروی می‌کند. مطالعات ترمودینامیک نیز بیانگر غیرخودبخودی، گرماگیر و فیزیکی بودن فرایند جذب رنگ‌زای راکتیو بلک ۵ است.	پست الکترونیکی نویسنده مسئول:	پست الکترونیکی نویسنده مسئول: hunesi@modares.ac.ir
نتیجه‌گیری:	نتیجه‌گیری:	این مطالعه نشان داد کربن فعال تهیه شده از چوب انگور از پتانسیل بالایی در حذف رنگ‌زای راکتیو بلک ۵ از محلول آبی برخوردار است.

مقدمه

اکسیدکننده، فیلتراسیون غشایی، فرایندهای الکتروشیمیایی، فرایندهای فتوکاتالیستی، روش‌های بیولوژیکی و تکنیک‌های جذب سطحی نام برد (۳). روش جذب سطحی به دلیل هزینه کم، سهولت طراحی و بهره‌برداری به عنوان مناسب‌ترین تکنیک در حذف آلاینده‌های رنگ شناخته می‌شود (۱۱). کربن فعال به دلیل خواص ویژه آن منند سطح جذب بالا و اندازه مطلوب منافذ، یک جاذب ایده‌آل محسوب می‌شود. کربن فعال به دو روش فعال‌سازی فیزیکی یا شیمیایی تولید می‌شود (۱۲). مزیت فعال‌سازی شیمیایی بر فعال‌سازی فیزیکی این است که فقط در یک گام و همچنین در دمای پایین‌تر انجام می‌گیرد، بنابراین توسعه خلل و فرج در ساختار کربن به دلیل اثر شیمیایی بهبود می‌یابد. علاوه بر این فعال‌سازی شیمیایی میزان کربن بیشتری را نسبت به فعال‌سازی فیزیکی تولید می‌کند. بنابراین استفاده از فعال‌سازهای شیمیایی باعث صرفه‌جویی در زمان و انرژی می‌شود (۱۳). با این حال فعال‌سازی شیمیایی معایبی نیز، منند خوردگی و مراحل شستشو را به همراه دارد (۱۴). در فعال‌سازی شیمیایی، ترکیبات شیمیایی ماده فعال‌ساز در مرحله اشباع‌سازی باعث هیدرولیز مواد لیکنوسلولزی می‌شود. همچنین مواد فعال‌ساز در ساختار پیش ماده نفوذ کرده و فضاهایی را اشغال می‌کند که این عمل موجب عدم بسته شدن حفرات در طی فرایند کربونیزاسیون می‌شود. بعد از مرحله کربونیزاسیون مواد حاصله به‌وسیله آب و اسید و یا باز شسته می‌شود و ترکیبات شیمیایی ماده فعال‌ساز از ساختار آنها حذف می‌گردد، که منجر به متخلخل شدن بیشتر کربن فعال می‌شود و در نتیجه حفرات و فضاهای بسیاری در ساختار آن بر جای می‌ماند. به عبارتی مرحله شستن با آب و اسید، ساختار منافذ را با حذف عنصر اشباع‌کننده و نمک آن، پاک‌سازی می‌نماید که این عامل باعث بهتر شدن کیفیت کربن فعال در روش شیمیایی نسبت به روش فیزیکی می‌شود. عوامل مهم در کیفیت و راندمان کربن فعال تولید شده در فرایند جذب سطحی شامل: نوع فعال‌ساز شیمیایی، نسبت اشباع‌سازی، دمای فعال‌سازی، زمان فعال‌سازی، و زمان مخلوط کردن پیش ماده با عامل فعال‌ساز هستند که بر خواص جذبی و راندمان تولید کربن

فاضلاب رنگی در کارخانه‌ها و یا صنایع مصرف‌کننده رنگ مانند صنایع نساجی، کاغذسازی و چرم‌سازی ایجاد می‌شود (۱۴). رنگ‌ها از نفوذ نور به محیط‌های آبی جلوگیری کرده و باعث اختلال در فتوسنتر گیاهان آبری می‌شوند (۲). بسیاری از این رنگ‌ها دارای آثار سلطان‌زاپی بوده و باعث بروز جهش‌های ژنتیکی در موجودات زنده می‌شوند. وجود مقدار ناچیز رنگ در آب، شفافیت و غلظت اکسیژن محلول در آب را کاهش داده و حیات محیط‌های آبی را تهدید می‌کند (۳). وجود رنگ‌ها در آب آشامیدنی باعث تحریکات پوستی، اختلال در عملکرد کلیه‌ها، دستگاه تناسلی، کبد، مغز و سیستم اعصاب مرکزی انسان می‌شود (۴). از طرفی وجود رنگ‌ها در آب باعث ایجاد مشکلاتی همچون بالا رفتن اکسیژن خواهی زیستی، اکسیژن خواهی شیمیایی و همچنین بالا رفتن سمیت به دلیل وجود غلظت بالایی از مواد غذایی و ترکیبات حاوی گوگرد می‌شود (۵). وجود 1 mg/L رنگ در آب آشامیدنی می‌تواند آن را برای مصرف انسان نامناسب کند (۶). فاضلاب صنعت نساجی حاوی مقادیر زیادی از رنگ‌های آلی مورد استفاده در رنگرزی است (۷). سالانه بیش از $7 \times 10^5 \text{ ton}$ از رنگ‌های مختلف تجاری در سراسر جهان تولید می‌شود و تخمین زده شده است که $15-10$ درصد از این رنگ‌ها در پساب طی فرایند رنگرزی از دست می‌روند (۷). مطالعات اخیر نشان می‌دهد که تقریباً 20 درصد از رنگ‌های از دست رنگرزی از دست رنگ‌های اسیدی، قلیایی، دیسپرس، مستقیم، گوگردی، خمی، آزو، دندانهای، راکتیو و پیغمانت‌ها می‌شوند (۹). رنگ راکتیو، جدیدترین نوع رنگ تولید شده است. این رنگ‌ها واکنش پذیرتر بوده و تکنیک‌های کاربردی آسان دارند و به میزان زیادی در صنایع نساجی مصرف می‌شوند (۱۰). این رنگ‌ها دارای ساختار مقاوم‌تر از سایر رنگ‌ها در برابر تجزیه هستند. لذا حذف این ترکیبات از پساب با استفاده از روش‌های مؤثر و کم هزینه ضرورت دارد (۵). از جمله روش‌های حذف رنگ‌ها از محیط‌های آبی می‌توان به معقد کننده‌ها، عوامل

انگور یکی از محصولات مهم در دنیا به شمار می‌آید. کشورهای ایتالیا، فرانسه و آمریکا در رتبه‌های اول تا سوم تولید انگور دنیا قرار دارند. ایران با تولید $250,000$ ton در رتبه هفتم قرار دارد. بیش از $30,000$ ha از اراضی کشور را با غات انگور تشکیل می‌دهد. هرس سالانه این با غات پتانسیل تولید $15,000$ ton پسماند لیگنوسلولری در سال را فراهم می‌کند (۲۳). بنابراین استفاده از این پسماند به عنوان ماده اولیه برای تولید کربن فعال توجیه اقتصادی مناسبی دارد. مطالعات بسیاری بر روی تاثیر فعال‌سازی کربن فعال با مواد شیمیایی مختلف جهت ارتقاء کارایی جاذب به منظور حذف آلاینده‌ها انجام شده است. در این مطالعات برای فعال‌سازی شیمیایی از انواع فعال‌سازها، از قبیل هیدروکسیدهای فلزات قلیایی (KOH و KOH)، K₂CO₃، Na₂CO₃، Li₂O₃، Rb₂O₃ و Cs₂O₃ و نمک‌های فلزی (ZnCl₂) استفاده شده است (۲۴). در این میان فعال‌ساز کربنات پتانسیم نسبت به فعال‌سازهای دیگر مانند فسفریک اسید یا کلرید روی سازگاری بهتری با محیط زیست دارد. همچنین این فعال‌ساز پتانسیل بهتری برای تولید کربن فعال با حفرات مزو به منظور جذب رنگ‌های راکتیو که دارای مولکول‌های بزرگ هستند، است (۲۵). هدف این مطالعه بررسی حداکثر میزان جذب سطحی رنگ‌زای راکتیو بلک ۵ به ازای واحد وزن کربن فعال است. کربن فعال‌های تجاری اغلب دارای حفرات میکرو‌بوده و از کارکرد پایینی در جذب رنگ‌هایی با وزن مولکولی بالا برخوردار هستند. بنابراین نیاز است جاذبی با حداکثر حجم حفرات مزو برای جذب آنها تولید شود. فرایند تولید کربن فعال با هزینه بالا همراه است. بخشی از این هزینه مربوط به استفاده از ماده فعال‌ساز است. از طرفی در مطالعات پیشین توسط محققان دیگر نسبت فعال‌سازی کمتر از ۱:۱ بررسی نشده است، لذا در این مطالعه برای اولین بار شرایط تولید کربن فعال با دوز پایین ماده فعال‌ساز کربنات پتانسیم (۱:۰/۲۵) به منظور کاهش هزینه‌های تولید، بررسی شد. همچنین تاثیر دماهای مختلف فعال‌سازی کربن فعال به منظور رسیدن به بالاترین درصد حجم حفرات مزو در ساختار کربن فعال و در نتیجه افزایش ظرفیت

فعال اثرگذار است (۱۵). در این مطالعه تاثیر پارامتر دمای فعال‌سازی بر کیفیت کربن فعال تولیدی بررسی شده است. مطالعاتی زیادی بر روی تولید کربن فعال از پیش ماده‌های مختلف برای حذف رنگ‌های راکتیو صورت گرفته است. به طور مثال Thitame و همکار (۲۰۱۶) با استفاده از پوست بادام و فعال‌ساز اسید فسفریک کربن فعالی با مساحت سطح ویژه $1218 \text{ m}^2/\text{g}$ در دمای 50°C تولید کردند. این محققان با استفاده از این کربن فعال، رنگ‌های راکتیو قرمز ۲ و راکتیو زرد ۱۴۵ را به ترتیب با 20.22 mg/g و 1694 mg/g را در دمای 60°C و غلظت اولیه 1000 mg/L جذب کردند (۱۶). همچنین در مطالعه دیگری Dos Santos و همکاران (۲۰۱۶) با استفاده از خاک ارده عنوان پیش ماده و فعال‌ساز ZnCl₂ در دمای 600°C کربن فعال تولید کردند. این محققان موفق شدند با استفاده از این نمونه کربن فعال، رنگ‌زای نارنجی ۱۰۷ را با ظرفیت جذب 445 mg/g از محلول آبی جذب کنند (۱۷). در مطالعه دیگر Ahmad و همکاران (۲۰۱۴) پوست انار را با استفاده از فعال‌ساز KOH در دمای 700°C فعال کردند. نمونه تولید شده با مساحت سطح ویژه $941 \text{ m}^2/\text{g}$ رنگ‌زای راکتیو بلو ۱۹ را با حداکثر ظرفیت جذب 370 mg/g از محلول آبی جذب کرد (۱۸). در مطالعه دیگر Gerçel و همکاران (۲۰۰۹) با استفاده از هسته هلو به عنوان پیش ماده و بهره‌گیری از فعال‌ساز K₂CO₃ کربن فعالی با مساحت سطح ویژه $902 \text{ m}^2/\text{g}$ تولید کردند. این محققان موفق شدند رنگ‌زای راکتیو نارنجی ۱۶ را با حداکثر ظرفیت جذب 667 mg/g از محلول آبی جذب کنند (۱۹). با توجه به مطالعات صورت گرفته تاکنون به نظر می‌رسد استفاده از فعال‌سازهای K₂CO₃ و H₃PO₄ منجر به تولید کربن فعال با ساختار مزو حفره می‌شود همچنین فعال‌سازهایی مانند ZnCl₂ و KOH معمولاً ساختار حفرات کربن فعال را به سمت حفرات میکرو سوق می‌دهند (۲۰، ۲۱). بنابراین فعال‌سازهایی مانند H₃PO₄ و K₂CO₃ که توانایی تولید کربن فعال با قطر حفرات بزرگ‌تر را دارند، گرینه‌های بهتری برای تولید کربن فعال مزو حفره برای جذب مولکول‌های درشت رنگ هستند (۲۲).

حاضر را همراه با مقدار ۱۰۰ g پیش ماده توزین شده به یک ارلن با حجم مناسب منتقل شد و به مدت ۱ h با استفاده از همزن شیشه‌ای ترکیب گردید. این ترکیب در دمای ۱۱۰ °C به مدت ۲۴ h در آون خشک شد. این ترکیب بعد از خشک شدن در آون به ۷ قسمت با وزن برابر تقسیم شد و هر قسمت بصورت جدآگانه در کوره با راکتور لوله‌ای استیل تحت جریان نیتروژن با خلوص ۹۹/۹ درصد به ترتیب در دماهای ۶۰، ۶۵، ۷۰، ۷۵، ۸۰، ۸۵ و ۹۰ °C/min ۸ °C حرارت داده و ۱ h در آن دما نگهداشته شد. پس از تمام شدن فرایند پیرولیز و خنکسازی، کربن فعال‌های حاصله به طور متوالی با آب داغ شسته و سپس با آب مقطر شستشو شد تا pH آنها در محدوده خنثی (۷-۸) قرار بگیرد (۲۶). نمونه‌های شسته شده، در دمای ۱۱۰ °C به مدت ۲۴ h در آون خشک گردید. در این مرحله از میکروسکوپ الکترونی روبشی (SEM) برای تعیین مورفولوژی منافذ کربن فعال استفاده شد. همچنین برای تعیین سطح و حجم کربن فعال از آنالیز BET استفاده شد.

د) روش آزمایش

برای انتخاب بهترین کربن فعال سنتز شده از نظر ظرفیت جذب، آزمایش جذب رنگ در شرایط یکسان: pH برابر با ۲، دوز جاذب ۰/۰۲۵ g/L، غلظت رنگ ۰/۰۲۵ mg/L، دما ۲۵ °C، حجم محلول ۱۰۰ mL و زمان تماس ۱۲۰ min بر روی تمام کربن فعال سنتز شده انجام شد. سپس غلظت رنگ با دستگاه اسپکتروفوتومتر (spectroscopy UV-visible) در طول موج ۵۹۹ nm برای رنگزای راکتیو بلک ۵ قرائت شد. درصد حذف رنگزای راکتیو بلک ۵ با استفاده از معادله ۱ به دست آمد:

جذب رنگ بررسی شد. اثر پارامترهای pH، دوز جاذب، غلظت اولیه رنگ و دما بر روی جذب رنگزای راکتیو بلک ۵ بررسی و مطالعات تعادلی برای این رنگ انجام شد.

مواد و روش‌ها

الف) آماده‌سازی پیش ماده

پسماند چوبی درختچه انگور از باغات شهرستان کرمانشاه جمع‌آوری شد. ماده اولیه به روش مکانیکی خرد شده و به اندازه‌های ۲/۵-۳ mm تبدیل شد. سپس با آب دیونیزه شسته شده و در آون تحت دمای ۱۱۰ °C خشک شد. مواد حاصله در آسیاب دورانی پودر شد. سپس برای به دست آوردن اندازه‌های یکسان با الک با مش ۶۰ جداسازی شد.

ب) مواد شیمیایی

رنگزای راکتیو بلک ۵ از دسته رنگ‌های دی‌آزو از واحد رنگرزی کارخانه نساجی آمل تهیه شد. مشخصات فیزیکی و شیمیایی این رنگ در جدول ۱ آمده است. کربنات پتاسیم (K₂CO₃)، سدیم هیدروکسید (NaOH)، نیتریک اسید (HNO₃) و کربن فعال تجاری از شرکت مرک (Merck) Germany خریداری شدند.

ج) سنتز جاذب

مقدار ۱۰۰ g از ماده خام با استفاده از ترازو توزین شد. این مقدار پیش ماده باید با نسبت ۱:۰/۰۲۵ از فعال‌ساز کربنات پتاسیم ترکیب شود. برای این منظور ابتدا مقدار ۰/۰۲۵ g از پودر کربنات پتاسیم خشک را توزین کرده و با استفاده از بالن ژوژه ۰/۰۲۵ mL و آب دیونیزه به حجم رسانده شد تا پودر کربنات پتاسیم بصورت کامل در آب دیونیزه حل شود. سپس محلول

جدول ۱- مشخصات فیزیکی و شیمیایی رنگزای راکتیو بلک ۵

نوع رنگ	رنگ ظاهری	شماره رنگ	وزن مولکولی (g/mol)	طول موج (nm)	فرمول و ساختار مولکولی
راکتیو بلک ۵	مشکی	۲۰۵۰۵	۹۹۱	۵۹۹	 $C_{26}H_{21}N_5Na_4O_{19}S_6$

که در آن K_f ظرفیت جذب در غلظت واحد، $1/n$ شدت جذب سطحی، C_{eq} غلظت تعادلی بر حسب mg/L و q_{eq} مقدار رنگ جذب شده در حالت تعادل بر حسب mg/g است (۲۹).

مدل لانگمویر:

این مدل شامل فرضیاتی است که از آن جمله جذب به صورت تک لایه‌ای، یکنواختی سطح و حذف اثرات متقابل مولکول‌های جذب شده را می‌توان نام برد. معادله مدل لانگمویر فرایند جذب تک لایه‌ای به صورت زیر است (معادله ۴):

$$\frac{C_{eq}}{q_{eq}} = \frac{1}{Q^b} + \frac{C_{eq}}{Q} \quad (4)$$

که در آن: q_{eq} (mg/g) مقدار رنگ جذب شده به ازای هر گرم جاذب و C_{eq} (mg/L) غلظت تعادلی رنگ در حالت تعادل است. Q^b پارامترهای لانگمویر هستند که به ترتیب مربوط به حداکثر ظرفیت جذب و انرژی همبستگی جذب هستند (۳۰). برای رسم نمودارها و تعیین درجه تطابق داده‌های فرایند جذب با معادلات هم‌دامای (ایزوترم) جذب و معادلات سینتیکی از نرم‌افزار سیگماپلات ۱۳ (SigmaPlot 13) استفاده شد.

یافته‌ها

- آزمایش جذب رنگ

برای بررسی اثر دماهای مختلف فعال‌سازی بر روی ظرفیت جذب نمونه‌های تولید شده، آزمایش جذب رنگ برای همه کربن فعال‌های سنتز شده در شرایط یکسان انجام شده و در نمودار ۱ نشان داده شده است. مطابق نمودار ۱ میزان ظرفیت جذب (q) برای همه نمونه‌های تولیدی بیش از کربن فعال تجاری به دست آمد. در بین کربن‌های فعال تولید شده بیشترین ظرفیت جذب مربوط به نمونه فعال شده در نسبت اشباع ۱۰/۲۵ و دمای ۹۰۰ °C به مقدار ۱۸ mg/g است. لازم به ذکر است مقدار ظرفیت جذب کربن فعال تجاری برای این رنگ ۱۲۶ mg/g بود. نتایج نشان داد با افزایش دمای فعال‌سازی از ۹۰۰ °C تا ۶۰۰ °C ظرفیت جذب کربن فعال از ۵۱۸ mg/g در دمای ۹۹ °C به ۱۸۰۰ در دمای ۹۹ mg/g افزایش می‌یابد.

$$R = \frac{C_0 - C_t}{C_0} \times 100 \quad (1)$$

که در آن: R درصد حذف رنگ، C_0 (mg/L) غلظت اولیه و C_t (mg/L) غلظت محلول تعادلی در زمان t (min) است. همچنین ظرفیت جذب جاذب (q_e) بر حسب (mg/g) برای رنگ زای راکتیو بلک ۵ از معادله ۲ به دست آمد:

$$q_e = \frac{(C_0 - C_e)V}{W} \quad (2)$$

که در آن: q_e (mg/g) ظرفیت جذب جاذب، C_e (mg/L) غلظت اولیه، V (L) حجم محلول اولیه و W (g) وزن جاذب است (۲۷). مقادیر R و q_e با استفاده از معادلات محاسبه شدند.

ه) ایزوترم‌های جذب

ایزوترم‌های جذب، خواص جذبی و داده‌های تعادلی هستند که به توصیف چگونگی واکنش آلاینده‌ها با مواد جاذب می‌پردازند و در بهینه‌سازی مصرف جاذب نقش اساسی دارند. مدل‌های ایزوترم زیادی برای تحلیل داده‌های تجربی و توصیف تعادل در جذب وجود دارد. این مدل‌ها برای ارائه دیدگاهی راجع به مکانیسم جذب، خواص سطحی، تمایل جاذب و توصیف داده‌های تجربی جذب به کار می‌روند. بنابراین، ایجاد یک ارتباط مناسب بین نمودارهای تعادل برای بهینه نمودن شرایط و طراحی سیستم‌های جذب بسیار حائز اهمیت است (۲۸). در این مطالعه برای بررسی رفتار جذب رنگ بر روی کربن فعال بهینه شده از ایزوترم‌های جذب لانگمویر و فروندلیج استفاده شد.

مدل فروندلیج:

ایزوترم فروندلیج با فرض یک سطح ناهمگن با توزیع غیر یکنواختی از گرمای جذب در روی سطح به دست می‌آید. طبق مدل فروندلیج فرایند جذب توسط معادله ۳ تعریف می‌شود:

$$\log(q_{eq}) = \log(K_f) + \frac{1}{n} \log(C_{eq}) \quad (3)$$

نتایج نشان داد نمونه کربن فعال تهیه شده از فعال‌ساز کربنات پتاسیم در نسبت اشباع ۱:۰/۲۵ در دمای ۹۰۰ °C دارای سطح ویژه ۱۶۷۰ m²/g و حجم کلی حفرات ۱/۴۳۴ cm³/g است. همچنین قطر متوسط منافذ کربن فعال ۳/۴۳ nm است که نشان می‌دهد حدود ۶۸ درصد از حفرات این نمونه در محدوده مزوحفه قرار دارد. همانطور که در نمودار ۱ نشان داده شده است با افزایش دمای فعال‌سازی ظرفیت جذب کربن فعال افزایش پیدا می‌کند. این مساله بیانگر این است که با افزایش دمای فعال‌سازی تا ۹۰۰ °C درصد حفرات مزو افزایش پیدا می‌کند.

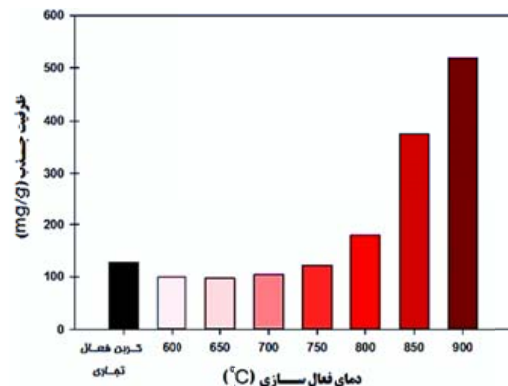
- میکروسکوپ الکترونی روبشی (SEM)

تصاویر میکروسکوپ الکترونی روبشی از نمونه کربن فعال تولید شده و پیش ماده بدون حضور فعال‌ساز در شکل ۱ نشان داده شده است. شکل ۱ (الف) ساختار سلولزی پیش ماده قبل از هرگونه اشباع‌سازی یا فعال‌سازی را نشان می‌دهد. همانطور که مشخص است سطح پیش ماده قبل از فعال‌سازی کاملاً صاف و بدون حفره است. شکل ۱ (ب) کربن فعال بهینه را نشان می‌دهد. مطابق شکل با انجام عمل اشباع‌سازی و فعال‌سازی با فعال‌ساز کربنات پتاسیم ساختار پیش ماده به کلی دچار تغییر شده و درصد تخلل آن افزایش پیدا کرده است. منافذ ایجاد شده بر روی سطح کربن فعال نشان دهنده تاثیر کربنات پتاسیم و تبخیر عامل فعال‌ساز در طول فرایند کربنی شدن در دمای ۹۰۰ °C است.

بحث

تولید کربن فعال با استفاده از پیش ماده‌ها و فعال‌سازهای مختلف رواج دارد. حال آنکه در این مطالعه برای اولین بار تولید کربن فعال با استفاده از پسماند لیگنوسلولزی حاصل از هرس سالانه درختچه انگور با استفاده از کمترین دوز فعال‌ساز کربنات پتاسیم به منظور کاهش هزینه تولید کربن فعال بررسی شد. همچنین در این مطالعه بررسی اثر دماهای مختلف فعال‌سازی به منظور افزایش درصد حفرات مزو در ساختار جاذب برای جذب حداکثری رنگ‌های راکتیو با وزن مولکولی

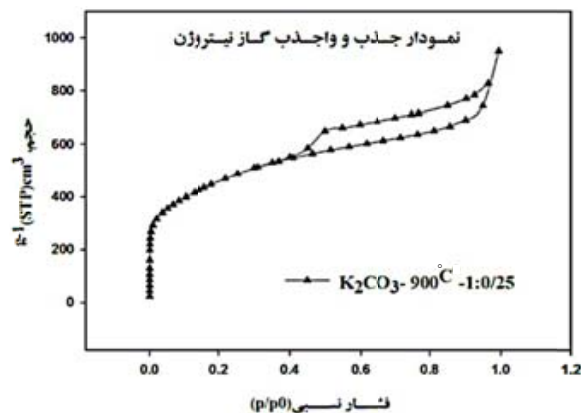
۹۰۰ °C می‌رسد. در این مرحله کربن فعال سنتز شده در نسبت اشباع ۱:۰/۲۵ و دمای ۹۰۰ °C به عنوان کربن فعال بهینه تعیین شد.



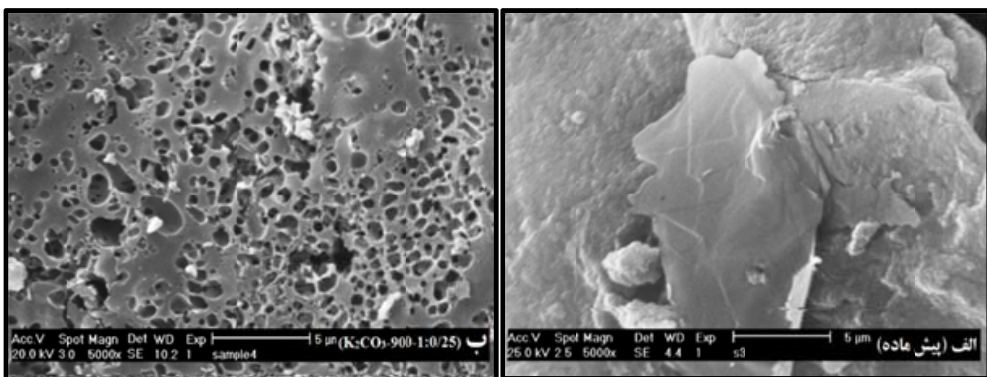
نمودار ۱- اثر دماهای مختلف مختلف فعال‌سازی بر روی ظرفیت جذب کربن فعال‌های تولید شده

- آنالیز سطح ویژه (BET)

مساحت سطح کربن فعال و اندازه و حجم حفره‌ها از آنالیز سطح ویژه به دست می‌آید. نمودار ۲ ایزوترم جذب و واجذب گاز نیتروژن بر روی کربن فعال بهینه را نشان می‌دهد. براساس IUPAC (International Union of Pure and Applied Chemistry) ایزوترم جذب و واجذب این کربن فعال الگوی مطابق با نوع IV دارد.



نمودار ۲- نمودار ایزوترم جذب و واجذب نیتروژن بر روی کربن فعال تولید شده

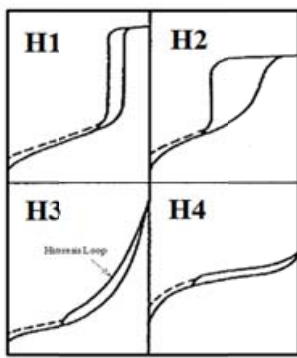


شکل ۱- تصاویر SEM پیش ماده (الف) و کربن فعال سنتز شده با فعال‌ساز K_2CO_3 (ب)

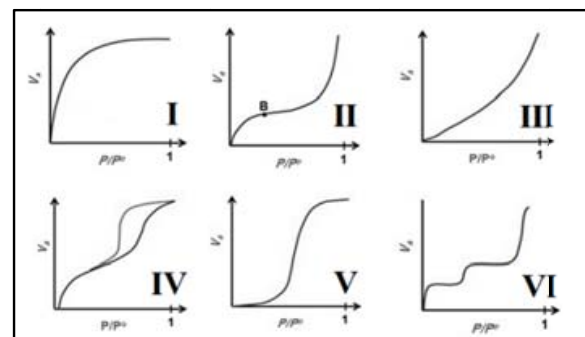
هیستریس نشان‌دهنده حضور مزوحفره در ساختار جاذب است. ایزوترم‌های که از مدل H1 پیروی می‌کنند اغلب دارای توزیع اندازه حفرات منظم و یکسان هستند. در حالی که ایزوترم‌هایی که از مدل‌های H2 و H3 پیروی می‌کنند عموماً گسترهای وسیع از حفرات مزو تا میکرو و بزرگتر را شامل می‌شوند. با این حال می‌توان بیان کرد ایزوترم‌های که از مدل H3 پیروی می‌کنند غالباً دارای حفرات مزو هستند و شکل هندسی آنها لایه‌ای یا شکافدار است. همچنین ایزوترم‌های که از مدل H4 پیروی می‌کنند دارای حفرات مزو بسیاری هستند اما این حفرات توسط حفره‌های میکرو محدود شده است (۳۲). نتایج آنالیز BET نشان داد که براساس طبقه‌بندی IUPAC

بالا انجام شد. نتایج نشان داد با افزایش دمای فعال‌سازی از $600^{\circ}C$ تا $900^{\circ}C$ درصد جذب رنگ‌زای راکتیو بلک ۵ به صورت چشمگیری افزایش پیدا می‌کند. این بیانگر افزایش کیفیت کربن فعال با افزایش دمای فعال‌سازی است. یکی از مهمترین روش‌ها جهت اندازه‌گیری تخلخل مواد، آنالیز سطح ویژه (Brunauer-Emmett-Teller(BET)) است. براساس دسته‌بندی IUPAC ایزوترم‌های جذب و واجذب به ۶ دسته زیر تقسیم می‌شوند (شکل ۲) (۳۱).

در مواردی ایزوترم‌های نیتروژن مطابق با ۶ کلاسه بندی آبیپاک نیست. در نتیجه آبیپاک طبقه بندی ۴ گانه جدیدی ارائه داد که در آن حلقه‌های هیستریس نیز نشان داده شده‌اند (شکل ۳) (۳۱).



شکل ۳- طبقه‌بندی ۴ گانه ایزوترم‌های جذب توسط آبیپاک (۳۱)

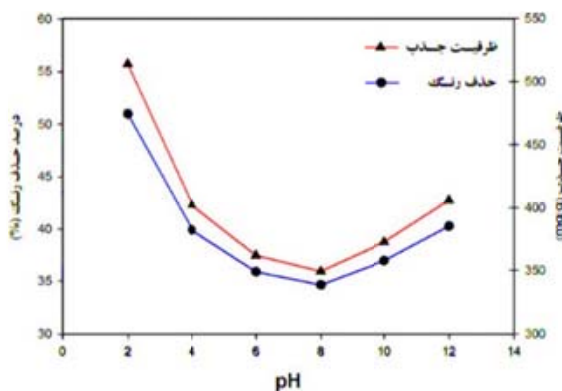


شکل ۲- طبقه‌بندی ۶ کلاسه ایزوترم‌های جذب و واجذب آبیپاک (۳۱)

محدوده مزو بود (۳۴). Ruiz و همکاران، (۱۱) چوب انگور را با ۲ فعال ساز ZnCl_2 و H_3PO_4 در نسبت اشباع ۱:۵ و دمای 500°C فعال ساز KOH در نسبت اشباع ۱:۲ و دمای 800°C به کربن فعال تبدیل کردند و به این نتیجه رسیدند که بالاترین مساحت سطح با فعال ساز ZnCl_2 به مقدار $1726 \text{ m}^2/\text{g}$ به دست می‌آید. همچنین مساحت سطح برای فعال سازهای KOH و H_3PO_4 به ترتیب 1363 و $791 \text{ m}^2/\text{g}$ به دست آمد. در این مطالعه بیشترین درصد مزو حفرات متعلق به نمونه سنتز شده با فعال ساز ZnCl_2 به مقدار ۵۶ درصد بود (۳۵). Nabais و همکاران (۲۰۱۰) با استفاده از چوب انگور و فعال سازی فیزیکی با گاز CO_2 در دمای 870°C کربن فعال با مساحت سطح $1173 \text{ m}^2/\text{g}$ تولید کردند (۳۶). همان‌طور که از مطالعات صورت گرفته تاکنون می‌توان نتیجه گرفت بیشترین میزان سطح به دست آمده مربوط به چوب ZnCl_2 با مقدار $1726 \text{ m}^2/\text{g}$ و با استفاده از فعال ساز ZnCl_2 در نسبت اشباع ۱:۵ و دمای 500°C است. این در حالی است که استفاده از فعال ساز ZnCl_2 از نظر محیط زیستی مشکل ساز است. همچنین نسبت اشباع ۱:۵ بسیار بالا بوده و صرفه اقتصادی ندارد. نویسندهای در مطالعه حاضر از فعال ساز K_2CO_3 که سازگار با محیط زیست بوده، در نسبت اشباع بسیار پایین $1:0/25$ به منظور کاهش هزینه‌های تولید استفاده کردند. همچنین مطالعات بسیاری برای حذف رنگ‌زای راکتیو بلک ۵ از محلول آبی با جاذبهای مختلف انجام شده است. برای مثال Ip و همکاران (۲۰۱۰) از چوب بامبو با فعال ساز H_3PO_4 در نسبت‌های ۱:۲ و ۱:۶ کربن فعال سنتز کرده و به ترتیب به ظرفیت جذب‌های 286 و 473 mg/g برای رنگ‌زای راکتیو بلک ۵ دست پیدا کردند. در این مطالعه ظرفیت جذب کربن فعال تجاری برای رنگ‌زای راکتیو بلک ۵ مقدار 198 mg/g به دست آمد (۳۷). همچنین Galán و همکاران (۲۰۱۳) در مطالعه‌ای با استفاده از سیلیکاژل و فعال ساز H_2SO_4 در دمای 1000°C کربن فعال مزو حفره تولید کردند و به حداقل ظرفیت جذب 293 mg/g برای رنگ‌زای راکتیو بلک ۵ دست پیدا کردند (۳۸). همان‌طور که از مطالعات پیشین

ایزوترم جذب و واجذب کربن فعال بهینه تولید شده در این مطالعه الگوی مطابق با نوع IV دارد. الگوی IV بیانگر ساختار مزو حفره است. در نتیجه افزایش دمای فعال سازی موجب تولید کربن فعال با حفرات مزو می‌شود. مطابق نمودار ۲ افزایش جذب گاز در فشار نسبی کمتر از $4/0$ جذب تک لایه نیتروژن در دیواره‌های کربن را نشان می‌دهد، در قسمت بین $4/0$ تا $9/0$ با افزایش فشار نسبی، نمودار با شبیه تند افزایش جذب را نشان می‌دهد که دلیل آن تراکم مویرگی داخل کربن مزو حفره است، قسمت بالاتر از $9/0$ مربوط به جذب سطحی چندلایه بر روی سطح بیرونی ذره‌های جذب شده است. همچنین حلقه هیستریس موجود این کربن فعال به صورت کامل به هیچ‌کدام از مدل‌های هیستریس شباهت ندارد. اما می‌توان آن را حد واسط مدل‌های هیستریس H_2 و H_3 معروفی کرد. به این ترتیب احتمالاً شکل هندسی این نمونه از لایه‌های شکافدار به همراه حفره‌های با منافذ ریز در قسمت ورودی که اصطلاحاً bottle-shaped pores همان‌طور که در شکل مشخص است واجذب گاز در فشارهای بالا به راحتی و با شدت انجام می‌شود تشکیل شده‌اند (۳۹). همان‌طور که در شکل انجام می‌شود که دلیل آن واجذب گاز از حفرات مزو حفره با دهانه باز است اما حفره‌هایی وجود دارند که با وجود اندازه در محدوده مزو ولی دارای منافذ ورودی و خروجی ریز هستند که واجذب گاز از این حفرات را با سختی مواجه می‌کند این پدیده را کاویتاپسیون می‌گویند که در نمونه تولیدی در دمای 900°C دیده شد (۳۰). نمونه سنتز شده در نسبت اشباع $1:0/25$ و دمای 900°C دارای سطح ویژه $1/434 \text{ cm}^3/\text{g}$ و $1670 \text{ m}^2/\text{g}$ حجم کلی حفرات این نمونه در محدوده بود. همچنین 68 درصد حجم حفرات این نمونه در محدوده مزو حفره قرار داشت. مطالعات دیگری در ارتباط با تولید کربن فعال از چوب انگور با فعال سازهای دیگر صورت گرفته است. برای مثال Corcho-Corral و همکاران (۲۰۰۶) از چوب انگور به روش شیمیایی با فعال ساز H_3PO_4 ، کربن فعال تولید کردند. در این تحقیق بالاترین مساحت سطح کربن فعال در دمای 400°C در نسبت اشباع ۱:۲ تولید شد که مساحت سطح ویژه آن $1666 \text{ m}^2/\text{g}$ و 30 درصد حفرات در

گروهها می‌توانند با گروههای هیدروکسیل سطح جاذب پیوند برقرار کنند و باعث افزایش جذب رنگ شوند. محققان دیگر نیز نتایج مشابهی گزارش کرده‌اند. Ma و همکار (۲۰۱۵) بیشترین میزان جذب رنگ‌زای راکتیو آبی را در pH ۱۱ با pH جاذب الیاف سلولزی به دست آورده‌اند (۴۲). در این مرحله pH معادل ۲ بدلیل دara بودن بیشترین میزان جذب رنگ به عنوان pH بهینه برای جذب رنگ از محلول آبی تعیین شد.



نمودار ۳- نمودار اثر pH بر میزان جذب و ظرفیت جذب رنگ‌زای راکتیو بلک ۵

اثر دوز جاذب:

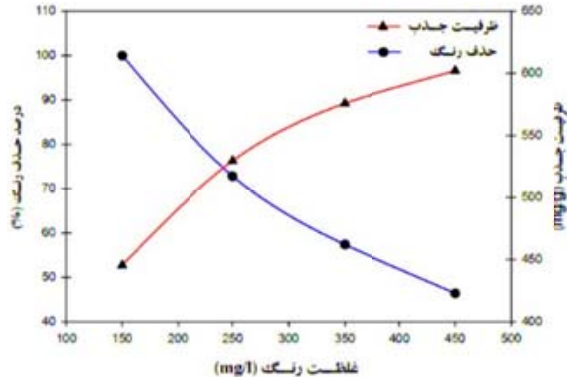
دوز جاذب تعیین‌کننده ظرفیت جاذب برای غلظت اولیه مشخصی از رنگ است. مطابق نمودار ۴ با افزایش جرم جاذب از 0.005 g/L به 0.055 g/L درصد حذف رنگ از $12/4$ به $99/2$ درصد افزایش یافته است. این افزایش به دلیل افزایش سطح جذب در دسترس است. همچنین با افزایش جرم جاذب ظرفیت جذب رنگ از 623 mg/g به 453 mg/g کاهش یافته است. این کاهش به دلیل اختلاف در جریان غلظت رنگ در محلول و غلظت رنگ در سطح جاذب است. بنابراین افزایش جرم جاذب، میزان رنگ جذب شده بر واحد وزن جاذب را کاهش می‌دهد که کاهش در مقدار q_e را سبب می‌شود (۴۳). در مطالعه‌ای که توسط Senthilkumaar (۲۰۰۶) بر روی جذب رنگ انجام شد با افزایش میزان کربن فعال درصد حذف رنگ افزایش و ظرفیت جذب رنگ کاهش یافت (۴۰). در دوز 0.035 g/L رنگ‌زای راکتیو بلک ۵ به

مشخص است در هیچ کدام از مطالعات گذشته از دوز پایین و اقتصادی فعال‌ساز برای تولید کربن فعال استفاده نشده است. این در حالی است که محققان در مطالعه حاضر با استفاده از دوز پایین $1/۰۰۲۵$ از فعال‌ساز کربنات پتاسیم موفق به تولید 900°C کربن فعال با درصد بالای از حفرات مزو در دما 900°C شدند که رنگ‌زای راکتیو بلک ۵ را با حداکثر ظرفیت جذب 704 mg/g از محلول آبی حذف می‌کند. رنگ‌های راکتیو به دلیل وزن مولکولی بالایی که دارند به جایگاه‌های فعال با سایز مزو و بزرگتر برای جذب بهتر در ساختار جاذب نیاز دارند.

- تأثیر پارامترهای مختلف بر جذب رنگ‌زای راکتیو بلک ۵
تأثیر pH

pH مهم‌ترین پارامتر در روند جذب رنگ است (۳۹). میزان حذف رنگ‌زای راکتیو بلک ۵ در محدوده pH برابر $2-12$ در غلظت رنگ 250 mg/L و دوز جاذب 0.025 g/L در زمان 120 min و دما 25°C برای نمونه کربن فعال بهینه مورد بررسی قرار گرفت و در نمودار ۳ نشان داده شده است. نتایج نشان داد بیشترین ظرفیت جذب برای رنگ‌زای راکتیو بلک ۵ در pH معادل ۲ رخ داده است. همان‌طور که در شکل مشاهده می‌شود بیشترین ظرفیت جذب ابتدا در pH معادل ۲ و سپس در pH معادل ۱۲ رخ داده است. افزایش درصد حذف رنگ در pH اسیدی به دلیل ایجاد بار مثبت در سطح کربن فعال است. گروههای پروتونه کربن فعال، عمدتاً گروه کربوکسیلیک، فنلیک و کرومیک هستند. رنگ‌های راکتیو عموماً دارای بار سطحی منفی هستند در این حالت گروههای پروتونه کربن فعال گروههای عاملی با بار منفی در رنگ‌های راکتیو را جذب می‌کنند (۴۰). نتایج مطالعه Santhy و همکاران نیز بر روی حذف رنگ‌زای راکتیو قرمز، نارنجی و آبی بیانگر این مطلب بود که بیشترین درصد حذف رنگ در pH اسیدی است (۴۱). طبق نمودار ۳ در pH های بالاتر از 10 جذب رنگ افزایش می‌یابد. دلیل این امر را می‌توان در این دانست که در ساختار رنگ‌زای راکتیو بلک ۵ گروههای سولفات و بینیل سولفون وجود دارند. این گروههای به شرایط قلیایی بسیار حساس‌اند و در pH بالا به گروههای سولفون و بینیل فعال تبدیل می‌شوند. این

در غلظت L 450 mg/g با 450 mg/L رخ داده است. نتایج بهدست آمده از مطالعه Hameed و همکاران (۲۰۰۹) بر روی جذب متیلن بلو نیز نشان داد که با افزایش غلظت اولیه رنگ از L 25 mg/L تا 200 mg/L ظرفیت جذب از 7 mg/g به 57 mg/g افزایش می‌یابد (۴۶).

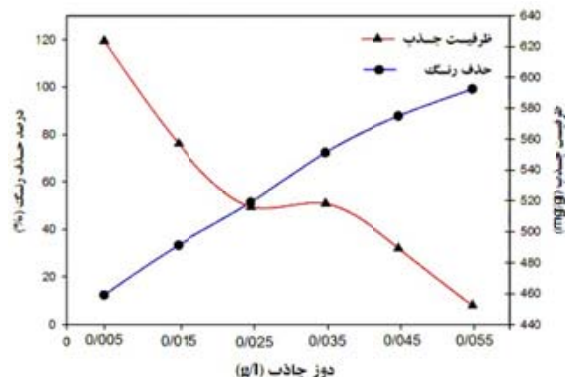


نمودار ۵- نمودار اثر غلظت اولیه رنگ بر میزان جذب و ظرفیت جذب رنگ راکتیو بلک ۵

تأثیر دما:

تأثیر دمای محلول رنگ‌زای راکتیو بلک ۵ بر روی حذف رنگ توسط جاذب در pH برابر ۲ با میزان جاذب 0.35 g/L در غلظت 250 mg/L در دمای 15°C ، 25°C و 45°C در نمودار ۶ نشان داده شده است. افزایش درجه حرارت، سرعت انتشار مولکول‌های جذب‌شونده را در لایه‌های خارجی و داخلی منافذ افزایش می‌دهد (۴۷). با توجه به نمودار ۶ با افزایش دما از 15°C تا 45°C ، درصد حذف رنگ‌زای راکتیو بلک ۵ از 58% به 96% درصد و ظرفیت جذب نیز از 418 mg/L به 450 mg/L افزایش یافته است. تأثیر مثبت دما بر جذب می‌تواند با افزایش میزان انتشار رنگ در لایه مرزی و نیز حرکت مولکول‌های رنگ در خلل و فرج داخلی ذرات جاذب با افزایش دما مرتبط باشد. به عبارت دیگر با توجه به غلظت ثابت رنگ و جاذب، تعداد بیشتری از مولکول‌های رنگ از محلول بر روی جاذب منتقل شدند. نتایج Alimohamadi و همکاران (۲۰۱۶) نشان داد که با افزایش دما از 15°C تا 45°C ظرفیت جذب و درصد حذف افزایش می‌یابد (۴۸).

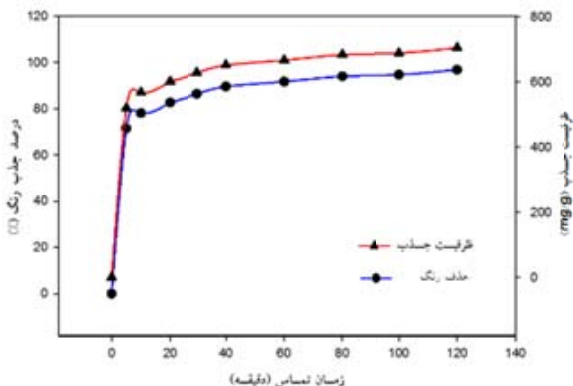
میزان 72% درصد از محلول آبی جذب می‌شود، این درحالی است که در دوزهای بالاتر از 0.35 g/L با وجود افزایش درصد جذب رنگ، ظرفیت جذب جاذب کاهش می‌یابد. به همین دلیل دوز 0.35 g/L به عنوان دوز بهینه تعیین و بقیه پارامترها با این دوز جاذب بررسی شد.



نمودار ۶- نمودار اثر دوز جاذب بر میزان جذب و ظرفیت جذب رنگ‌زای راکتیو بلک ۵

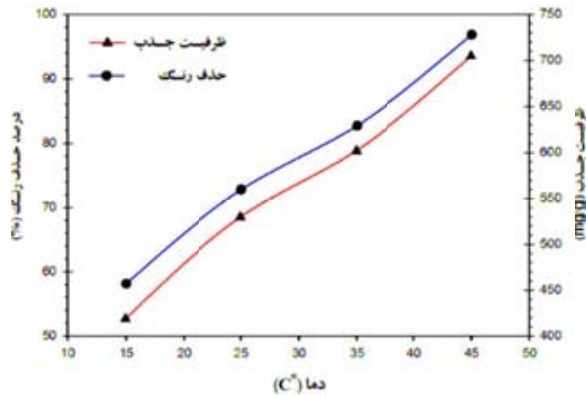
تأثیر غلظت اولیه رنگ:

تأثیر غلظت اولیه رنگ‌زای راکتیو بلک ۵ بر روی حذف رنگ توسط جاذب در pH برابر ۲ با میزان جاذب 0.35 g/L در غلظت‌های 150 ، 250 ، 350 و 450 mg/L محاسبه و در نمودار ۵ نشان داده شده است. برای این منظور ابتدا مقدار 1 g از پودر رنگ‌زای راکتیو بلک ۵ را با استفاده از آب دیونیزه در بالن حجمی 1000 mL به حجم رسانده و سپس غلظت‌های 150 ، 250 ، 350 و 450 mg/L با استفاده از این محلول استوک تهیه شد. نتایج نشان داد با افزایش غلظت اولیه رنگ از 150 mg/L به 450 mg/L درصد حذف رنگ از $99/9\%$ به $46/2\%$ درصد کاهش یافته است. با توجه به کاهش سایت‌های فعال مورد نیاز برای غلظت بالای اولیه رنگ، جذب مواد حل شده نیز کاهش می‌یابد (۴۴). نتایج بهدست آمده از مطالعه Garg و همکاران (۲۰۰۴) نیز نشان داد که با افزایش غلظت رنگ درصد حذف رنگ متیلن بلو کاهش می‌یابد (۴۵). از طرفی با توجه به نمودار ۵ با افزایش غلظت اولیه رنگ ظرفیت جذب افزایش یافته است به‌طوری که بیشترین ظرفیت جذب



نمودار ۷- نمودار اثر زمان تماس بر حذف و ظرفیت جذب

رنگ‌زای راکتیو بلک ۵



نمودار ۶- نمودار اثر دما بر میزان حذف و ظرفیت جذب

رنگ‌زای راکتیو بلک ۵

مطالعات سینتیک جذب:

مطالعات سینتیکی سرعت جذب ماده جذب شونده در سطح جاذب و مدت زمان ماند لازم برای تکمیل واکنش جذب را تعیین می‌کند. مدل شبه درجه اول برای واکنش برگشت پذیر با ایجاد برقراری یک تعادل بین فاز مایع و جامد استفاده می‌شود. در حالی که در مدل شبه درجه دوم فرض می‌شود که مرحله محدود کننده سرعت ممکن است، جذب شیمیایی باشد (۵۰). پارامترهای مدل‌های سینتیک شبه درجه اول و دوم در جدول ۲ نشان داده شده است. با توجه به نتایج بدست آمده برای رنگ‌زای راکتیو بلک ۵ مدل شبه درجه دوم با ضریب رگرسیون (R^2) در محدوده $0.994 - 0.999$ بهتر از مدل شبه درجه اول با داده‌های تجربی برآش یافته است. همچنانیکی ظرفیت جذب تعادلی پیش‌بینی شده به وسیله مدل سینتیکی شبه درجه دوم نسبت به مدل سینتیکی شبه درجه اول، با مقدار تجربی ظرفیت جذب تعادلی، اختلاف کمتری دارد. همانطور که در جدول مشخص است ثابت سرعت معادله شبه درجه دوم (k_2) با افزایش در غلظت رنگ، کاهش یافته است. این تمایل به کاهش سرعت در ابتدا به دلیل وجود جایگاه‌های کافی در میزان ثابتی از جاذب برای جذب غلظت‌های پابین تر رنگ است، و سرعت جذب بالاتر بوده است ولی بتدریج با توجه به کاهش سایتها فعال نیاز برای غلظت‌های بالای رنگ، سرعت جذب مواد حل شده نیز کاهش یافته است.

تأثیر زمان تماس:

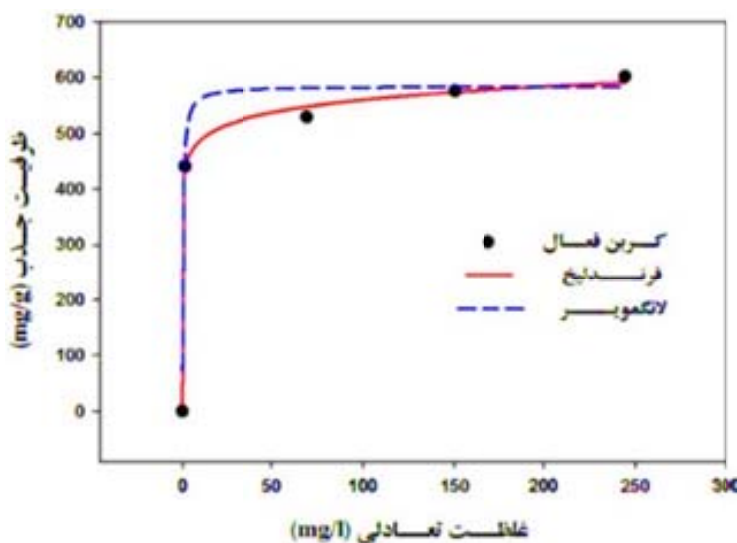
نمودار ۷ تأثیر زمان تماس بر جذب رنگ را نشان می‌دهد. براساس نمودار ۷ فرایند جذب رنگ‌زای راکتیو بلک ۵ بر روی کربن فعال در همان دقایق ابتدایی با سرعت بسیار زیادی انجام گرفت و بعد از 10 min میزان کارایی جذب به 80 درصد رسید و بعد آن با شیب ملایمی در 97 تا 120 min درصد افزایش یافت و تقریباً به تعادل رسید. دلیل این روند این‌گونه بیان می‌شود که در ابتدای فرایند جذب جایگاه‌های فعال و در دسترس بسیاری برای جذب رنگ بر روی جاذب وجود دارد و از طرفی میزان رنگ فراوانی نیز در محلول حضور دارد و بنابراین در لحظات ابتدایی شروع فرایند، جذب با سرعت بسیار زیادی انجام می‌پذیرد. ولی بعد از گذشت دقایق اولیه به دلیل کاهش مزوحفرات و جایگاه‌های در دسترس و نیز کاهش رنگ موجود در محلول، از سرعت فرایند جذب Amin کاسته شده و به تدریج به یک نقطه تعادلی می‌رسد. (۲۰۰۸) نیز در مطالعه جذب ناپیوسته بهمنظور حذف رنگ‌زای راکتیو نارنجی توسط سه کربن فعال مختلف انجام شد و نتایج نشان داد که جذب این رنگ بر روی کربن فعال در دقایق ابتدایی با سرعت بسیار زیادی انجام شده و با افزایش زمان تماس درصد حذف افزایش یافته و بیشترین میزان حذف در زمان حدوداً 1 h بوده است (۴۹).

جدول ۲- پارامترهای سینتیک جذب برای رنگزای راکتیو بلک ۵

رنگزای راکتیو بلک ۵ (mg/L)					پارامتر	درجه واکنش
۴۵۰	۳۵۰	۲۵۰	۱۵۰			
۰/۹۹۶۲	۰/۹۸۰۸	۰/۹۸۷۱	۰/۹۷۳۷	R^2		
۳۶۷	۳۰۸	۲۷۳	۲۹۸	$q_e(\text{mg/g})$	شبه درجه اول	
۰/۰۳۱۷	۰/۰۲۵۷	۰/۰۲۸۳	۰/۰۵۶۴	$k_1(\text{min}^{-1})$		
۰/۹۹۸	۰/۹۹۴۸	۰/۹۹۷۲	۰/۹۹۹۴	R^2		
۶۲۵	۵۸۸	۵۵۵	۴۷۶	$q_e(\text{mg/g})$	شبه درجه دوم	
۰/۰۰۰۱۶۶	۰/۰۰۰۱۸۶	۰/۰۰۰۲۱۹	۰/۰۰۰۳۸	$k_2(\text{g/mg}\cdot\text{min})$		

همدمای لانگمویر ($0/۹۸۹۸$) بوده است. در نتیجه مدل فروندلیج برآژش بهتری از خود نشان داده و می‌تواند رفتار جذب رنگ را به خوبی توصیف کند که بیانگر ناهمگن بودن سطح جاذب است. براساس فرضیات مدل فروندلیج سطح جاذب به صورت غیر یکنواخت است و هر مکان اتصال ممکن است چند مولکول رنگ را بپذیرد. به طوری که مولکول‌های جذب شده به صورت چند لایه روی هم قرار می‌گیرند و مکان‌های جذب بر روی سطح جاذب دارای انرژی یکسانی نیستند و بین مولکول‌های

مطالعات تعادلی جذب: نمودار مدل‌های جذب و واجدب لانگمویر و فروندلیج برای رنگزای راکتیو بلک ۵ در نمودار ۸ رسم شده است. همانطور که در نمودار ۸ نشان داده شده است نمودار مدل همدمای فروندلیج تطابق بیشتری با داده‌های تجربی آزمایش دارد. پارامترهای مربوط به همدمایی جذب محاسبه شد. با مقایسه ضرایب همبستگی این دو مدل، مشخص شد که ضریب همبستگی مدل همدمای فروندلیج ($0/۹۹۸۰$) بیشتر از



نمودار ۸- نمودار مدل‌های همدمای لانگمویر و فروندلیج در غلظت‌های مختلف رنگزای راکتیو بلک ۵

جدول ۳- پارامترهای همدمای لانگمویر و فروندلیچ رنگزای راکتیو بلک ۵

مدل فروندلیچ			مدل لانگمویر		
R ²	K _f	1/n	R ²	q _m (mg/g)	b(mg/L)
۰/۹۹۸۰	۲۸۳	۰/۰۶۲	۰/۹۸۹۸	۵۷۱	۲/۲

جدول ۴- پارامترهای ترمودینامیکی جذب رنگزای راکتیو بلک ۵ بر روی کربن فعال در دماهای مختلف

ΔH(KJ/mol)	ΔS(J/mol K)	ΔG(kJ/mol)	دما (K)
۸/۵۰	۰/۰۳۷۸	-۲/۳۸	۲۸۸
		-۲/۷۶	۲۹۸
		-۳/۱۴	۳۰۸
		-۳/۵۲	۳۱۸

جذب است. همچنین ΔH° می‌تواند فیزیکی یا شیمیایی بودن فرایند جذب را نشان دهد (۵۲). بنابراین با توجه به جدول ۴ جذب رنگزای راکتیو بلک ۵ بر روی کربن فعال گرماگیر و خودبخودی است. گرماگیر بودن فرایند جذب با نتایج قبلی مبنی بر افزایش جذب رنگ با افزایش دما کاملاً سازگار است. مقدار پایین ΔH° (۸/۵۰ kJ/mol) بیانگر فیزیکی بودن فرایند جذب رنگ بر روی کربن فعال است. همچنین مثبت بودن ΔS° بیانگر افزایش بی‌نظمی و افزایش احتمال برخورد بین مولکول‌های رنگ و سطح کربن فعال است (۵۳).

نتیجه‌گیری

در این مطالعه جذب رنگزای راکتیو بلک ۵ با کربن فعال تهیه شده از پسماند هرس درختچه انگور فعال‌سازی شده با کربنات پتاسیم در سیستم ناپیوسته بررسی شد. نتایج نشان داد که کربن فعال حاصله با سطح ویژه $1670\text{ m}^2/\text{g}$ در حذف رنگزای راکتیو بلک ۵ از محلول آبی دارد. نتایج این مطالعه نشان داد با افزایش دمای فعال‌سازی کربن فعال حجم حفرات و درصد حفرات مزو و ظرفیت جذب کربن فعال افزایش پیدا می‌کند. همچنین نتایج جذب رنگ نشان داد با افزایش دمای محلول رنگ درصد جذب رنگ افزایش پیدا می‌کند.

جذب شده واکنش شیمیایی رخ می‌دهد. پارامترهای همدمای لانگمویر و فروندلیچ برای رنگزای راکتیو بلک ۵ در جدول ۳ آمده است. میزان پارامتر $1/n$ در مدل فروندلیچ در محدوده صفر و یک میزان شدت جذب و ناهمنگی سطح را اندازه‌گیری می‌کند (۵۱). میزان $1/n$ برای کربن فعال تولید شده در مطالعه حاضر ۰/۰۶۲ است که نشان دهنده سطح ناهمنگ جاذب است. همچنین مقدار بالای پارامتر b (۲/۲ mg/L) در مدل لانگمویر میل ترکیبی بسیار بالای جاذب را برای اتصال به مولکول‌های رنگ را نشان می‌دهد. میزان حداقل ظرفیت جذب برای کربن فعال تولید شده در شرایط بهینه در مدل لانگمویر ۵۷۱ mg/g به دست آمد.

مطالعات ترمودینامیکی:

پارامترهای ترمودینامیکی شامل تغییرات انرژی آزاد گیبس (ΔG°)، تغییرات آنتالپی (ΔH°) و تغییرات آنتروپی (ΔS°) در دماهای ۱۵، ۲۵ و ۳۵ °C در جدول ۴ نشان داده شده است. بطور کلی مقادیر منفی ΔG° بیانگر خودبخودی بودن و مقادیر مثبت آن غیرخودبخودی بودن فرایند جذب رنگ بر روی جاذب را نشان می‌دهند. مقادیر مثبت ΔH° نشان دهنده گرماگیر بودن و مقادیر منفی آن بیانگر گرماده بودن فرایند

دیگر کیفیت نهایی کربن فعال تولید شده بیشتر ارتقا یابد.

تشکر و قدردانی

این مقاله بخشی از پایان‌نامه با عنوان "تولید کربن فعال از پسماند لیگنوسلولزی جهت حذف رنگ‌های راکتیو از پساب صنایع نساجی" در مقاطع کارشناسی ارشد آلودگی محیط‌زیست در سال ۱۳۹۵ است که با حمایت دانشکده منابع طبیعی و علوم دریایی دانشگاه تربیت مدرس اجرا شده است.

به طور کلی این مطالعه نشان داد تولید کربن فعال با کیفیت با استفاده از نسبت اشباع‌سازی پایین از فعال‌ساز کربنات پتابسیم امکان پذیر بوده و از کارایی مناسبی برخوردار است. لازم به ذکر است در این مطالعه فقط تاثیر دماهای فعال‌سازی مختلف بر روی کیفیت کربن فعال تولید شده بررسی شده است. عوامل بسیار دیگری مانند نسبت اشباع‌سازی مختلف، فعال‌سازهای شیمیایی دیگر، گاز استفاده شده برای پیرولیز نمونه‌ها و همچنین زمان پیرولیز نمونه‌ها که بر کیفیت کربن فعال تولید شده تاثیرگذار هستند. انتظار می‌رود با بررسی عوامل تاثیرگذار

منابع

- Jiraratananon R, Sungpet A, Luangsowan P. Performance evaluation of nanofiltration membranes for treatment of effluents containing reactive dye and salt. Desalination. 2000;130(2):177-83.
- Lourenço ND, Novais JM, Pinheiro HM. Effect of some operational parameters on textile dye biodegradation in a sequential batch reactor. Journal of Biotechnology. 2001;89(2):163-74.
- Yeddou N, Bensmaili A. Kinetic models for the sorption of dye from aqueous solution by clay-wood sawdust mixture. Desalination. 2005;185(1):499-508.
- Mohammed M, Shitu A, Ibrahim A. Removal of methylene blue using low cost adsorbent: a review. Research Journal of Chemical Sciences. 2014;4(1):91-102.
- Crini G, Badot P-M. Application of chitosan, a natural aminopolysaccharide, for dye removal from aqueous solutions by adsorption processes using batch studies: a review of recent literature. Progress in Polymer Science. 2008;33(4):399-447.
- Salleh MAM, Mahmoud DK, Karim WAWA, Idris A. Cationic and anionic dye adsorption by agricultural solid wastes: A comprehensive review. Desalination. 2011;280(1):1-13.
- Demirbas A. Agricultural based activated carbons for the removal of dyes from aqueous solutions: a review. Journal of Hazardous Materials. 2009;167(1):1-9.
- Essawy AA, Ali AE-H, Abdel-Mottaleb M. Application of novel copolymer-TiO₂ membranes for some textile dyes adsorptive removal from aqueous solution and photocatalytic decolorization. Journal of Hazardous Materials. 2008;157(2):547-52.
- Çolak F, Atar N, Olgun A. Biosorption of acidic dyes from aqueous solution by Paenibacillus macerans: Kinetic, thermodynamic and equilibrium studies. Chemical Engineering Journal. 2009;150(1):122-30.
- Demirbas E, Nas M. Batch kinetic and equilibrium studies of adsorption of Reactive Blue 21 by fly ash and sepiolite. Desalination. 2009;243(1-3):8-21.
- Pavan FA, Mazzocato AC, Gushikem Y. Removal of methylene blue dye from aqueous solutions by adsorption using yellow passion fruit peel as adsorbent. Bioresource Technology. 2008;99(8):3162-65.
- Williams PT, Reed AR. Development of activated carbon pore structure via physical and chemical activation of biomass fibre waste. Biomass and

- Bioenergy. 2006;30(2):144-52.
13. Moreno-Castilla C, Carrasco-Marín F, López-Ramon MV, Alvarez-Merino MA. Chemical and physical activation of olive-mill waste water to produce activated carbons. *Carbon*. 2001;39(9):1415-20.
14. Timur S, Kantarlı IC, Onenc S, Yanık J. Characterization and application of activated carbon produced from oak cups pulp. *Journal of Analytical and Applied Pyrolysis*. 2010;89(1):129-36.
15. Molina-Sabio M, Rodriguez-Reinoso F, Caturla F, Selles M. Development of porosity in combined phosphoric acid-carbon dioxide activation. *Carbon*. 1996;34(4):457-62.
16. Thitame P, Shukla S. Adsorptive removal of reactive dyes from aqueous solution using activated carbon synthesized from waste biomass materials. *International Journal of Environmental Science and Technology*. 2016;13(2):561-70.
17. Dos Santos J, Felsner M, Almeida C, Justi K. Removal of reactive orange 107 dye from aqueous solution by activated carbon from Pinus elliottii sawdust: a response surface methodology study. *Water, Air, & Soil Pollution*. 2016;227(9):300.
18. Ahmad MA, Puad NAA, Bello OS. Kinetic, equilibrium and thermodynamic studies of synthetic dye removal using pomegranate peel activated carbon prepared by microwave-induced KOH activation. *Water Resources and Industry*. 2014;6:18-35.
19. Gerçel Ö, Özcan A, Özcan AS, Gerçel HF. Capacity of activated carbon derived from peach stones by K₂CO₃ in the removal of acid, reactive, and direct dyes from aqueous solution. *Journal of Environmental Engineering*. 2009;135(5):333-40.
20. Mańko D, Barczak M, Zdziennicka A. Synthesis and characterization of activated carbons obtained from nutshells. *Annales UMCS, Chemia*. 2014;68(1-2):51-62.
21. Demiral H, Demiral İ. Surface properties of activated carbon prepared from wastes. *Surface and Interface Analysis*. 2008;40(3-4):612-15.
22. Walker G, Weatherley L. Adsorption of dyes from aqueous solution—the effect of adsorbent pore size distribution and dye aggregation. *Chemical Engineering Journal*. 2001;83(3):201-06.
23. Kargarfard A, Nourbakhsh A. Utilization of grape prunings residues in middle layer of particleboard. *Pajouhesh and Sazandegi*. 2008;78:186-191 (in Persian).
24. Gurten II, Ozmak M, Yagmur E, Aktas Z. Preparation and characterisation of activated carbon from waste tea using K₂CO₃. *Biomass and Bioenergy*. 2012;37:73-81.
25. Hayashi Ji, Horikawa T, Takeda I, Muroyama K, Ani FN. Preparing activated carbon from various nutshells by chemical activation with K₂CO₃. *Carbon*. 2002;40(13):2381-86.
26. Hayashi J, Yamamoto N, Horikawa T, Muroyama K, Gomes V. Preparation and characterization of high-specific-surface-area activated carbons from K₂CO₃-treated waste polyurethane. *Journal of Colloid and Interface Science*. 2005;281(2):437-43.
27. Amini M, Younesi H, Bahramifar N. Biosorption of nickel (II) from aqueous solution by *Aspergillus niger*: response surface methodology and isotherm study. *Chemosphere*. 2009;75(11):1483-91.
28. Hii S-L, Yong S-Y, Wong C-L. Removal of rhodamine B from aqueous solution by sorption on *Turbinaria conoides* (Phaeophyta). *Journal of Applied Phycology*. 2009;21(5):625-31.
29. Khoramfar S, Mahmoudi N, Arami M, Gharanjig K. Dye removal from colored textile wastewater using *Tamarindus indica* hull: Adsorption isotherm and kinetics study. 2009;3:81-88 (in Persian).
30. Senturk HB, Ozdes D, Gundogdu A, Duran C, Soylak M. Removal of phenol from aqueous solutions by adsorption onto organomodified Tirebolu bentonite: Equilibrium, kinetic and thermodynamic study. *Journal of Hazardous Materials*. 2009;172(1):353-62.
31. Sing KS. Reporting physisorption data for gas/solid systems with special reference to the determination of surface area and porosity (Recommendations 1984). *Pure and Applied Chemistry*. 1985;57(4):603-19.
32. Thommes M. Physical adsorption characterization of nanoporous materials. *Chemie Ingenieur Technik*.

- Technik. 2010;82(7):1059-73.
33. Rasmussen CJ, Vishnyakov A, Thommes M, Smarsly BM, Kleitz F, Neimark AV. Cavitation in metastable liquid nitrogen confined to nanoscale pores. *Langmuir*. 2010;26(12):10147-57.
 34. Corcho-Corral B, Olivares-Marín M, Fernández-Gonzalez C, Gomez-Serrano V, Macías-García A. Preparation and textural characterisation of activated carbon from vine shoots (*Vitis vinifera*) by H₃PO₄—chemical activation. *Applied Surface Science*. 2006;252(17):5961-66.
 35. Ruiz-Fernández M, Alexandre-Franco M, Fernández-González C, Gómez-Serrano V. Development of activated carbon from vine shoots by physical and chemical activation methods. Some insight into activation mechanisms. *Adsorption*. 2011;17(3):621-29.
 36. Nabais JV, Laginhas C, Carrott P, Carrott MR. Thermal conversion of a novel biomass agricultural residue (vine shoots) into activated carbon using activation with CO₂. *Journal of Analytical and Applied Pyrolysis*. 2010;87(1):8-13.
 37. Ip AW, Barford JP, McKay G. A comparative study on the kinetics and mechanisms of removal of Reactive Black 5 by adsorption onto activated carbons and bone char. *Chemical Engineering Journal*. 2010;157(2):434-42.
 38. Galán J, Rodríguez A, Gómez J, Allen S, Walker G. Reactive dye adsorption onto a novel mesoporous carbon. *Chemical Engineering Journal*. 2013;219:62-68.
 39. Ai L, Zhang C, Liao F, Wang Y, Li M, Meng L, et al. Removal of methylene blue from aqueous solution with magnetite loaded multi-wall carbon nanotube: kinetic, isotherm and mechanism analysis. *Journal of Hazardous Materials*. 2011;198:282-90.
 40. Senthilkumar S, Kalaamani P, Porkodi K, Varadarajan P, Subburaam C. Adsorption of dissolved reactive red dye from aqueous phase onto activated carbon prepared from agricultural waste. *Bioresource Technology*. 2006;97(14):1618-25.
 41. Santhy K, Selvapathy P. Removal of reactive dyes from wastewater by adsorption on coir pith activated carbon. *Bioresource Technology*. 2006;97(11):1329-36.
 42. Ma Q, Wang L. Adsorption of Reactive blue 21 onto functionalized cellulose under ultrasonic pre-treatment: kinetic and equilibrium study. *Journal of the Taiwan Institute of Chemical Engineers*. 2015;50:229-35.
 43. Vadivelan V, Kumar KV. Equilibrium, kinetics, mechanism, and process design for the sorption of methylene blue onto rice husk. *Journal of Colloid and Interface Science*. 2005;286(1):90-100.
 44. Kannan N, Sundaram MM. Kinetics and mechanism of removal of methylene blue by adsorption on various carbons—a comparative study. *Dyes and Pigments*. 2001;51(1):25-40.
 45. Garg VK, Amita M, Kumar R, Gupta R. Basic dye (methylene blue) removal from simulated wastewater by adsorption using Indian Rosewood sawdust: a timber industry waste. *Dyes and Pigments*. 2004;63(3):243-50.
 46. Hameed B, Ahmad A. Batch adsorption of methylene blue from aqueous solution by garlic peel, an agricultural waste biomass. *Journal of Hazardous Materials*. 2009;164(2):870-75.
 47. Khezami L, Capart R. Removal of chromium (VI) from aqueous solution by activated carbons: kinetic and equilibrium studies. *Journal of Hazardous Materials*. 2005;123(1):223-31.
 48. Alimohammadi Z, Younesi H, Bahramifar N. Batch and Column Adsorption of reactive Red 198 from textile industry effluent by microporous activated carbon developed from walnut shells. *Waste and Biomass Valorization*. 2016;7(5):1255-70.
 49. Amin NK. Removal of reactive dye from aqueous solutions by adsorption onto activated carbons prepared from sugarcane bagasse pith. *Desalination*. 2008;223(1-3):152-61.
 50. Ding P, Huang K-L, Li G-Y, Liu Y-F, Zeng W-W. Kinetics of adsorption of Zn (II) ion on chitosan derivatives. *International Journal of Biological Macromolecules*. 2006;39(4):222-27.
 51. Haghseresh F, Lu G. Adsorption characteristics of phenolic compounds onto coal-reject-derived adsorbents. *Energy & Fuels*. 1998;12(6):1100-107.
 52. Kumar KV, Kumaran A. Removal of methylene

- blue by mango seed kernel powder. Biochemical Engineering Journal. 2005;27(1):83-93.
53. Zohre S, Ataallah SG, Mehdi A. Experimental study of methylene blue adsorption from aqueous solutions onto carbon nano tubes. International Journal of Water Resources and Environmental Engineering. 2010;2147483647(2):016-28.



Available online: <http://ijhe.tums.ac.ir>

Original Article



Optimization of activated carbon production by using K_2CO_3 at different temperatures for the removal of Reactive Black 5 dye from aqueous solutions

M Bijari, H Younesi*, N Bahramifar

Department of Environment Science, Faculty of Natural Resources and Marine Sciences, Tarbiat Modares University, Noor, Iran

ARTICLE INFORMATION:

Received: 17 October 2017
Revised: 3 January 2018
Accepted: 10 January 2018
Published: 7 March 2018

ABSTRACT

Background and Objective: Reactive dyes are the newest dyes in textile industry. They may cause environmental problems. The aim of this study was to remove Reactive Black 5 (RB5) in aqueous solutions with activated carbon that was made from grape wood.

Materials and Methods: The activated carbon was synthesized by potassium carbonate with impregnation ratios of 1:0.25 at different temperatures (600, 650, 700, 750, 800, 850, 900) °C. Experiments on dye adsorption were done under the same conditions including pH of 2, adsorbent dose of 0.025 g/L, initial dye concentration of 250 mg/L, volume of 100 mL, and contact time of 120 min. Then, the absorption RB5 in a batch mode was done using the optimized activated carbon. The trends of pH, adsorbent dose, initial concentration, temperature, retention time, parameters were studied. The BET and SEM techniques were used to characterize the activated carbon. Finally, the equilibrium, synthetic and thermodynamic studies were done for RB5.

Results: The results showed that the activated carbon sample that was synthesized under the impregnation ratio of 1:0.25 and temperature of 900 °C had a surface area 1670 m²/g. Moreover, the total pore volume was 1.134 cm³/g and 68% of the total pore size were within mesoporous zone. The highest adsorption capacity was observed at the optimum condition. The optimum condition with the maximum adsorption capacity for RB5 was pH of 2, adsorbent dose of 0.035 g/L and temperature 45 °C. According to the equilibrium test results RB5 followed the Freundlich model. of the kinetic adsorption results showed that RB5 showed a pseudo-second-order kinetic model. According to the thermodynamic studies, it seems that RB5 absorption process was an endothermic, non-spontaneous and physical sorption process.

Conclusion: The study showed that the produced-activated carbon from grape wood had a great potential for removing RB5 from aqueous solutions.

*Corresponding Author:
hunesi@modares.ac.ir

Please cite this article as: Bijari M, Younesi H, Bahramifar N. Optimization of activated carbon production by using K_2CO_3 at different temperatures for the removal of Reactive Black 5 dye from aqueous solutions. Iranian Journal of Health and Environment. 2018;10(4):483-500.